



УДК 576.54:577.114.7

## ВСТРАИВАНИЕ НЕОГЛИКОЛИПИДОВ В КЛЕТКИ К562. МОДЕЛЬ ДЛЯ ИЗУЧЕНИЯ УГЛЕВОДЗАВИСИМОГО ЛИЗИСА КЛЕТОК-МИШЕНЕЙ ЕСТЕСТВЕННЫМИ КИЛЛЕРАМИ

© 1998 г. Е. И. Коваленко<sup>#</sup>, М. А. Саблина, С. В. Хайдуков, Е. В. Хирова, Н. В. Бовин

Институт биоорганической химии им. М.М. Шемякина и Ю.А. Овчинникова РАН,

117871, Москва, ГСП-7, ул. Миклухо-Маклая, 16/10

Поступила в редакцию 20.11.97 г. Принята к печати 28.11.97 г.

Для изучения роли олигосахаридов поверхности клетки в регуляции эффекторной функции естественных киллеров (NK) разработана модельная система. Синтезированы полимерные гликоконъюгаты типа Glyc-PAA-PE и Glyc-PAA(Flu)-PE (где Glyc – остаток сахара, PAA – поли(N-2-гидроксиэтилакриламид), PE – остаток фосфатидилэтаноламина, Flu – остаток производного флуоресцеина), и изучена их ассоциация с мембраной живых клеток K562.

*Ключевые слова:* NK, Le<sup>x</sup>, неогликоконъюгаты.

Естественные киллеры (NK) обладают способностью спонтанно лизировать некоторые опухолевые и инфицированные вирусами клетки [1]. Эта способность регулируется за счет баланса позитивных и негативных сигналов от клеток-мишеней [2]. Так, взаимодействие с молекулами МНС класса I ингибитирует эффекторную функцию NK-клеток [3, 4]. В ряде работ показано, что олигосахариды поверхности клеток-мишеней могут принимать участие в распознавании их NK-клетками, причем взаимодействие с углеводами может как усиливать, так и ослаблять цитотоксичность естественных киллеров [5–11]. В частности, существуют данные, что позитивным сигналом для NK-клеток человека может служить антиген CD15 (трисахарид Le<sup>x</sup>) [7], а негативным – углеводные цели гликофорина A [10]. На самих NK-клетках идентифицированы уникальные лектины [12–17], принимающие участие в процессе узнавания "свое–чужое" на потенциальных клетках-мишениях. Таким образом, существующие литературные данные не оставляют сомнений в участии углевод-лектинового узнавания в процессе клеточного лизиса, опосредованного NK-клетками. Однако систематически роль гликоконъюга-

тов в этом процессе до сих пор не изучалась, а данные отдельных исследований трудно сопоставлять из-за существенных методических различий. В данной работе предлагается экспериментальная модель, позволяющая изучать процесс лизиса естественными киллерами человека клеток-мишеней (линия K562), в мембрану которых встроены синтетические гликоконъюгаты.

Использованные в данной работе неогликоконъюгаты, Glyc-PAA-PE, представляют собой водорастворимые молекулы, в то же время обладающие гидрофобным участком, позволяющим их легкое встраивание в мембрану. При молекулярной массе около 40 кДа гликоконъюгат несет на себе несколько десятков углеводных цепей (Glyc) и остатков фосфатидилэтаноламина (PE). Предполагалось, что такая мультимерная структура имеет несколько качеств, полезных для решения поставленной задачи. Во-первых, в Glyc-PAA-PE несколько углеводных цепей, сближенных в пространстве благодаря привязке к полимеру, образуют кластер, имитирующий структуру гликопroteина или сближенных гликолипидов, т.е. ситуацию, постулируемую для углевод-опосредованного клеточного узнавания [18]. Во-вторых, PAA служит своеобразным спайсером, экспонирующим углеводные цепи над гликокаликсом, делая их доступными для NK-клеток. В-третьих, конструкция неогликоконъюгата такова, что только часть остатков фосфатидилэтаноламина зажкорена в мембране клеток-мишенией, в то время как остальные образуют внутреннюю мицеллу [19]; после реализации специфического углевод-белкового взаимодействия двух клеток (NK и мишени) незажкоренные остатки

Сокращения: Flu – остаток 5-((5-аминопентил)тиоуреидил)флуоресцеина; NK – естественные киллеры; Le<sup>x</sup> – Galβ1-4(Fucα1-3)GlcNAc; Glyc – остаток 3-аминопропиогликозида Le<sup>x</sup> (Galβ1-4(Fucα1-3)GlcNAcβ1-(CH<sub>2</sub>)<sub>3</sub>NH<sub>2</sub>); МНС – главный комплекс гистосовместимости; PE – остаток фосфатидилэтаноламина; PNPA – поли(4-нитрофенилакрилат); PAA – поли(N-2-гидроксиэтилакриламид); PBS – 0.01 М K<sup>+</sup>,Na<sup>+</sup>-fosfatный буфер, pH 7.2, содержащий 0.15 М NaCl.

<sup>#</sup>Автор для переписки.

могут играть роль дополнительного стабилизирующего взаимодействие фактора, имитируя тем самым реальную ситуацию, когда клетки связываются благодаря концертному действию нескольких типов рецепторов.

Синтез Glyc-PAA(Flu)-PE осуществлялся по методологии, описанной ранее [19, 20]; данный подход позволяет в широком пределе варьировать содержание лигандов в конъюгате, причем вводить в полимерную молекулу именно столько остатков, сколько необходимо. В данном случае мы остановились на содержании углеводных цепей 15 мольн. % (т.е. примерно каждое седьмое мономерное звено PAA несет остаток углевода), а содержание PE варьировали, чтобы найти оптимальное для встраивания в мембрану, конкретно синтезировали молекулы с 10 и 20 мольн. % PE. Чтобы иметь возможность изучать кинетику встраивания конъюгата в мембрану с помощью проточной цитофлуориметрии, конъюгат метили флуоресцеином (1 мольн. %). После отработки условий встраивания предполагалось использовать конъюгаты без флуоресцеиновой метки, т.е. Glyc-PAA-PE. Чтобы показать, что процесс встраивания неогликоаконъюгата в мембрану обусловлен именно остатками фосфатидилэтаноламина, использовали конъюгат Glyc-PAA-Flu (отрицательный контроль), не содержащий PE. В качестве углевода применяли трисахарид  $\text{Le}^x$ , известный как положительный сигнал для естественных киллеров [7]. Факт встраивания гликоконъюгата в мембрану доказывался цитофлуориметрически; пространственную доступность остатков  $\text{Le}^x$  на клетке-мишени оценивали по наличию усиления лизиса нагруженных гликоконъюгатом клеток естественными киллерами.

**Встраивание гликоконъюгатов в мембрану клеток K562.** Для отработки техники встраивания первоначально был синтезирован гликоконъюгат Glyc(15%)-PAA(Flu, 1%)-PE(10%). В ходе работы экспериментально была подобрана его концентрация, которая приводила к наибольшей интенсивности флуоресценции. Сравнение интенсивности флуоресценции стандартных частиц, содержащих по 31 000 флуоресцеиновых эквивалентов, с флуоресценцией клеток, нагруженных Glyc-PAA(Flu)-PE, позволило определить среднестатистическое количество углеводных остатков и полимерных молекул на клетках. При концентрации зонда 100 мкг/мл удельное количество остатков  $\text{Le}^x$  составляло около  $3 \times 10^6$  на клетку, что соответствует приблизительно  $10^5$  молекул гликоконъюгата на клетку.

Была изучена стабильность встроенного гликоконъюгата. Для этого проводили цитофлуориметрический анализ клеток сразу после встраивания и через 4 и 24 ч. Сравнение интенсивности флуоресценции позволило судить об изменениях

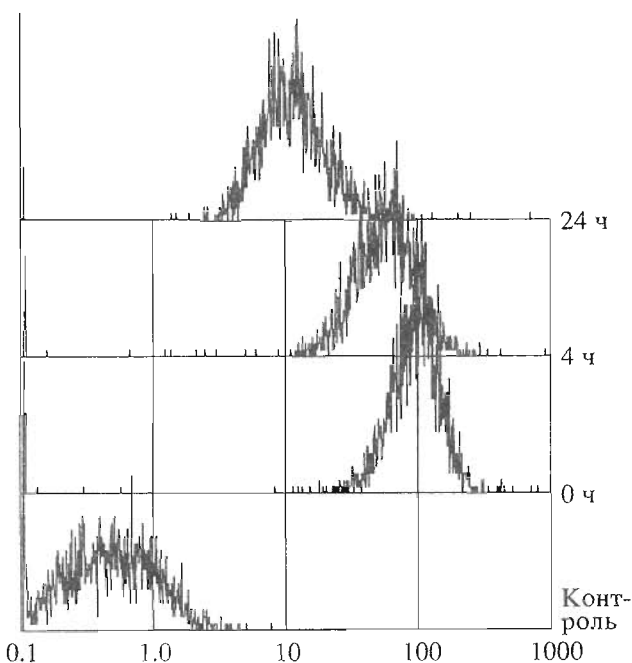
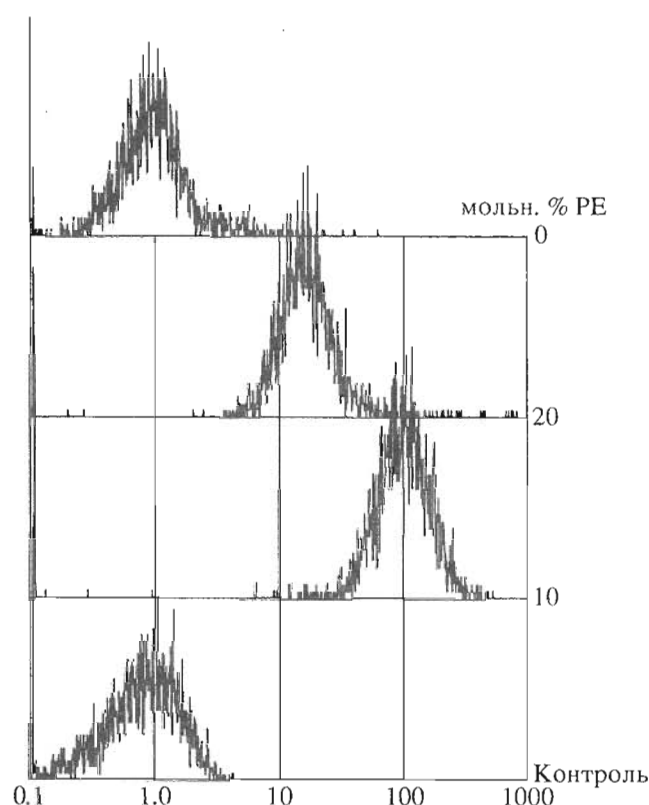


Рис. 1. Кинетика сброса  $\text{Le}^x$ -PAA(Flu)-PE с мембранны клеток K562. Гистограммы распределения интенсивности флуоресценции. По оси абсцисс – логарифм интенсивности флуоресценции, по оси ординат – число клеток. В качестве контроля использовали немеченные клетки.

количества молекул Glyc-PAA(Flu)-PE, находящихся на клеточной поверхности. Было показано, что с течением времени интенсивность флуоресценции клеток уменьшается, что свидетельствует о частичной диссоциации Glyc-PAA(Flu)-PE с клеточной мембраной (рис. 1). Рассчитанное удельное количество остатков трисахарида  $\text{Le}^x$  через 4 ч падало до  $2 \times 10^6$ , а спустя сутки уменьшалось до  $4 \times 10^5$  на клетку.

Жизнеспособность клеток, оцененная методом проточной цитофлуориметрии до и после встраивания Glyc-PAA-(Flu)-PE, а также после 24-часового культивирования, оставалась неизменной (более 90%).

**Влияние количества PE в Glyc-PAA(Flu)-PE на его встраивание в клетки.** В целях оптимизации встраивания были синтезированы структуры, содержащие различный мольный процент PE. Полученные данные свидетельствуют в пользу того, что гликоконъюгат с 20 мольн. % PE взаимодействует с клеточной поверхностью хуже, чем гликоконъюгат с 10 мольн. % PE (рис. 2). Этот эффект можно объяснить тем, что структуры с более высоким содержанием липида обладают способностью к образованию внутренней мицеллы [19] и это препятствует их связыванию с клеточной мембраной. В свою очередь, необходимость липидного компонента для взаимодействия



**Рис. 2.** Степень встраивания  $\text{Le}^x\text{-PAA(Flu)-PE}$  в клетки K562 в зависимости от содержания в конъюгате РЕ (мольн. %). Гистограммы распределения интенсивности флуоресценции. По оси абсцисс – логарифм интенсивности флуоресценции, по оси ординат – число клеток. В качестве контроля использовали немецкие клетки.

гликоконъюгата с клетками была доказана безуспешной попыткой встроить в мембрану гликоконъюгат, не содержащий РЕ. Интенсивность флуоресценции клеток в этом случае приближалась к контрольной.

Таким образом, были подобраны оптимальные условия для присоединения неогликоконъюгатов к мембране клеток K562. Разработанная модельная система была опробована для оценки цитотоксичности NK-клеток человека. По результатам предварительного тестирования, NK-зависимый лизис клеток-мишней, модифицированных Glyc(15%)-PAA(Flu, 1%)-PE(10%) увеличивается по сравнению с контрольным, что хорошо соотносится с литературными данными [7]. Подробные данные будут опубликованы позже.

## ЭКСПЕРИМЕНТАЛЬНАЯ ЧАСТЬ

3-Аминопропилгликозид  $\text{Le}^x$ , а также Glyc-PAA-Flu получены от фирмы Syntesome GmbH (Мюнхен, Германия), 5-((5-аминопентил)тиоуреидил)флуоресцеин – от фирмы Molecular Probes (Лейден, Нидерланды). В работе использовали

PNPA, полученный по методу [20],  $M$  40–50 кДа; фосфатидилэтаноламин из яичного желтка (Sigma, США);  $D,L$ - $\alpha$ -токоферол (Serva, Германия); хлороформ (Merck, Германия); DMSO, DMF,  $\text{Et}_3\text{N}$  и 2-этаноламин ("Реахим"). Растворители освобождали от воды и первичных аминов, используя стандартные методы. ТСХ проводили на пластинках Kieselgel 60 (Merck, Германия) в системах этанол–бутанол–пиридин–вода–уксусная кислота, 10 : 1 : 1 : 0.3 (А) и хлороформ–метанол–вода, 65 : 25 : 4 (Б). Присутствие углеводного компонента обнаруживали погружением пластинок в 7%  $\text{H}_3\text{PO}_4$  с последующим прогреванием при 150°C или нингидрином, присутствие фосфатидилэтаноламина обнаруживали нингидрином.

**Получение неогликоконъюгатов типа Glyc-PAA(Flu)-PE (общая методика).** Для получения конъюгатов использовали модифицированный метод [19, 20]. К раствору 5 мг PNPA в 0.26 мл DMSO (20 мг/мл, 25.9 мкмоль) прибавляли 5-((5-аминопентил)тиоуреидил)флуоресцеин в количестве 1 мольн. % по отношению к нитрофенильным группам полимера (0.259 мкмоль) и выдерживали сутки, затем без выделения прибавляли полученный конъюгат Flu с полимером (раствор 1) к раствору 3-аминопропилгликозида  $\text{Le}^x$  (количество варьировалось, см. ниже) в смеси равных объемов DMSO и DMF. К полученной смеси прибавляли раствор фосфатидилэтаноламина в хлороформе (количество варьировалось, концентрация 11 мг/мл), содержащий 0.1 мольн. %  $\alpha$ -токоферола (антиоксидант). Затем прибавляли  $\text{Et}_3\text{N}$  (3 объемн. % общего объема реакционной смеси). После прибавления каждого реагента смесь тщательно перемешивали. Реакционную смесь выдерживали при 40°C в течение 24 ч. Полноту конденсации контролировали с помощью ТСХ: в системе А на отсутствие исходного сахара и в системе Б на отсутствие исходного фосфатидилэтаноламина. Затем добавляли 2-этаноламин (10 объемн. % общего объема реакционной массы), тщательно перемешивали и оставляли на 24 ч при комнатной температуре. Полученный конъюгат очищали гель-фильтрацией на колонке (2 × 25 см) с Sephadex LH-20, элюировали смесью ацетонитрил–вода, 1 : 1. Фракции, содержащие конъюгат, концентрировали в вакууме, растворяли в небольшом количестве воды и лиофилизовали.

Glyc(15%)-PAA(Flu, 1%)-PE(10%) получали из 0.67 мг 3-аминопропилгликозида  $\text{Le}^x$  (1.14 мкмоль), растворенного в смеси DMSO (50 мкл) и DMF (65 мкл), 74 мкл раствора 1 и 0.55 мг фосфатидилэтаноламина (0.76 мкмоль) в 50 мкл  $\text{CHCl}_3$  с добавлением 7 мкл  $\text{Et}_3\text{N}$  и 24 мкл 2-этаноламина. Выход 1.6 мг (80%).

Glyc(15%)-PAA(Flu, 1%)-PE(20%) получали из 0.3 мг 3-аминопропилгликозида  $\text{Le}^x$  (0.51 мкмоль),

растворенного в смеси DMSO (50 мкл) и DMF (45 мкл), 34 мкл раствора 1 и 0.52 мг фосфатидилэтаноламина (0.78 мкмоль) в 47 мкл CHCl<sub>3</sub> с добавлением 5.5 мкл Et<sub>3</sub>N и 18 мкл 2-этаноламина. Выход 1.1 мг (92%).

Получение неогликононьюгатов Glyc-PAA-PE проводили как описано выше, опуская присоединение Flu-метки к полимеру.

**Клетки.** Для встраивания гликоконьюгатов в клеточную мембрану использовали клетки человеческой эритролейкемической линии K562, которые являются типичными мишениями естественных киллеров. Клетки культивировали в среде RPMI-1640 с добавлением 5% телячей эмбриональной сыворотки (инактивированной нагреванием), 40 мкг/мл гентамицина, 2 мМ L-глутамина, 1 мМ пирувата натрия (все – Flow, Великобритания) и 0.05 мМ 2-меркаптоэтанола (Sigma, США) во влажной атмосфере с 5% CO<sub>2</sub> при 37°C.

**Встраивание неогликононьюгатов в клетки K562.** Перед встраиванием клетки предварительно инкубировали в среде без сыворотки в течение суток. Встраивание гликоконьюгатов в клетки проводили в PBS. Для этого клетки однократно отмывали PBS центрифугированием (200г, 10 мин) и инкубировали 1 ч с гликоконьюгатом (100 мкг/мл) в объеме 200 мкл (10<sup>6</sup> кл./мл) при периодическом перемешивании. Затем клетки дважды отмывали PBS, как описано выше, и использовали в эксперименте.

Для оценки кинетики диссоциации гликоконьюгата клетки после встраивания культивировали в среде RPMI-1640 (2 × 10<sup>5</sup> /мл) с добавлением 40 мкг/мл гентамицина, 2 мМ L-глутамина, 1 мМ пирувата натрия и 0.05 мМ 2-меркаптоэтанола в течение 4 и 24 ч. Перед цитофлуориметрическим анализом клетки дважды отмывали PBS, как описано выше.

**Проточная цитофлуориметрия.** Анализ флуоресценции клеток (не менее 5000) проводили на лазерном проточном цитофлуориметре EPICS "ELITE" (Coulter Electronics Inc., США). Для исключения из зоны анализа частиц, не соответствующих по размерам и гранулярности живым клеткам, вводили логические ограничения в гистограммы распределения частиц по малоугловому и 90-градусному светорассеянию и результаты подвергали математической обработке с использованием программы MultiGraph и IMMUNO 4 (Coulter Electronics Inc., США).

Количество молекул Glyc-PAA(Flu)-PE, связавшихся с клетками, оценивали в сравнении с флуоресценцией микросфер IMMUNO-BRIT Level II (Coulter Electronics Inc., США), содержащих по 31000 флуоресциновых эквивалентов. Удельное количество остатков олигосахаридов рассчитывали исходя из мольных соотношений Flu и Glyc.

Данная работа выполнена при финансовой поддержке Российского фонда фундаментальных исследований (проект 97-04-49766-а).

Авторы выражают благодарность А.М. Сажникову за участие в подготовительном этапе данной работы, Е.Л. Водовозовой и А.Б. Тузикову за ценное обсуждение результатов, А.А. Формановскому – за синтез PNPA (все – сотрудники ИБХ РАН).

## СПИСОК ЛИТЕРАТУРЫ

- Trinchieri G. // Adv. Immunol. 1989. V. 47. P. 187–376.
- Yokoyama W.M. // Curr. Opin. Immunol. 1995. V. 7. P. 110–120.
- Ljunggren H.G., Karre K. // Immunol. Today. 1990. V. 11. P. 7–10.
- Carbone E., Terrazzano G., Colonna M., Tuosto L., Piccolella E., Franksson L., Palazzolo G., Petez-Villar J.J., Fontana S., Karre K., Zappacosta S. // Eur. J. Immunol. 1996. V. 26. P. 683–689.
- Werkmeister J.A., Pross H.F., Roder J.C. // Int. J. Cancer. 1983. V. 32. P. 71–78.
- Ades E.W., Hinson A., Culwell M. // J. Clin. Lab. Immunol. 1986. V. 19. P. 65–69.
- Zarcone D., Tilden A.B., Friedman H.M., Grossi C.E. // Cancer Res. 1987. V. 47. P. 2674–2682.
- Ahrens P.B. // J. Biol. Chem. 1993. V. 268. P. 385–391.
- Bezouska K., Yuen C.T., O'Brien J., Childs R.A., Chai W., Lawson A.M., Drbal K., Fiserova A., Pospisil M., Feizi T. // Nature. 1994. V. 372. P. 150–157.
- Ouagari K.E., Teissie J., Benoist H. // J. Biol. Chem. 1995. V. 270. P. 26970–26975.
- Kobayashi E., Motoki K., Yamaguchi Y., Uchida T., Fukushima H., Koezuka Y. // Bioorg. Med. Chem. 1996. V. 4. P. 615–619.
- Giorda R., Weisberg E.P., Tze Kin Ip, Trucco M. // J. Immunol. 1992. V. 149. P. 1957–1963.
- Yabe T., McSherry C., Bach F.H., Fisch P., Schall R.P., Sondel P.M., Houchins J.P. // Immunogenetics. 1993. V. 37. P. 455–460.
- Lanier L.L., Chang C., Phillips J.H. // J. Immunol. 1994. V. 153. P. 2417–2428.
- Daniels B.F., Nakamura M.C., Rosen S.D., Yokoyama W.M., Seaman W.E. // Immunity. 1994. V. 1. P. 785–792.
- Brennan J., Takei F., Wong S., Mager D.L. // J. Biol. Chem. 1995. V. 270. P. 9691–9694.
- Carretero M., Cantoni C., Bellon T., Bottino C., Biassony R., Rodriguez A., Perez-Villar J.J., Moretta L., Moretta A., Lopez-Botet M. // Eur. J. Immunol. 1997. V. 27. P. 563–567.
- Hakomori S. // Biochem. Soc. Trans. 1993. V. 21. P. 583–595.
- Бовин Н.В. // Биоорганическая химия. 1996. Т. 22. С. 643–663.
- Bovin N.V., Korchagina E.Yu., Zemlyanukhina T.V., Byramova N.E., Galanina O.E., Zemlyakov A.E., Ivanov A.E., Zubov V.P., Mochalova L.V. // Glycoconj. J. 1993. V. 10. P. 142–151.

# The Incorporation of Neoglycolipids into K562 Cells: A Model for the Study of Carbohydrate-dependent Cytolysis of Target Cells by Natural Killer Cells

E. I. Kovalenko, M. A. Sablina, S. V. Khaidukov, E. V. Khirova, and N. V. Bovin

*Shemyakin-Ovchinnikov Institute of Bioorganic Chemistry, Russian Academy of Sciences,  
ul. Miklukho-Maklaya 16/10, GSP-7 Moscow, 117871 Russia*

A model system was developed to study the role of cell surface oligosaccharides in cytotoxicity mediated by natural killer (NK) cells. Polymeric glycoconjugates Glyc-PAA-PE and Glyc-PAA(Flu)-PE (where Glyc is the 3-aminopropyl  $Le^x$  residue, PAA is the poly(*N*-2-hydroxyethylacrylamide) matrix, Flu is the residue of a fluorescein derivative, and PE is the phosphatidylethanolamine residue) were synthesized, and their association with the membranes of living K562 cells was studied.

*Key words:* *NK cells,  $Le^x$ , neoglycoconjugates*